

臺灣紫外線指數分析探討

陳圭宏 羅如惠
中央氣象局

摘要

過度曝曬太陽光的紫外線，是皮膚癌、眼睛疾病(白內障)的重要原因，過度曝曬也會降低免疫系統能力。所以進一步瞭解紫外線情況，有效避開強紫外線的照射，可以享受安全陽光的好處及樂趣。紫外線指數(UVI)是根據紫外線各波長對皮膚曬傷引起紅斑的權重函數積分而得。氣象局自 1998 年 4 月開始有紫外線指數觀測，並逐年在各地增設觀測站，目前已有 19 個紫外線指數觀測站。

分析臺灣紫外線指數(UVI)的分布，比較因緯度不同、東西部及平地高山 UVI 的差異。結果 1 月份由北至南，UVI 強度隨緯度減少而依序增強清楚，7 月份則分為兩組，緯度較低的南部 UVI 比中北部強。取緯度相近的東西部觀測站，1 月東部花蓮 UVI 明顯比西部的臺中 UVI 弱，但東部臺東 UVI 却比西部高雄 UVI 強，7 月份東部花蓮 UVI 大幅度增強到和臺東相等，甚至比緯度較低的高雄 UVI 強。1 月份平地高山 UVI 強度，隨海拔高度增加而增強明顯，但 7 月份，中低海拔的日月潭 UVI 強度，和嘉義相近，顯示不出高山 UVI 強度的特徵，而高海拔的玉山 UVI，非常突出的比其他觀測站強很多，全年的 UVI 中數強度都達極強級(UVI=8~10)以上。

選取 8 個代表站，檢定臺灣 UVI 強度趨勢，結果臺中、高雄、臺東等 3 站通過 5%有意義水平負趨勢的檢定，嘉義通過 10%有意義水平負趨勢檢定，其他臺北、花蓮、恆春和玉山 4 站都無顯著趨勢。

關鍵字：紫外線指數(UVI)、紅斑、極強級

一、前言

1985 年英國南極觀測站的科學家法曼(Joseph C.Farman)等人發現南極哈利灣(Halley Bay)上空，自 1970 年代至 1980 年代期間，臭氧含量呈大量減少趨勢，再經過人造衛星觀測資料的驗證，南極上空於 9 月時，臭氧量忽然急劇消失，有如南極上空出現一個巨大的臭氧洞。當時已經知道平流層臭氧最大的功用是吸收太陽輻射的紫外線，使地面生物免遭受紫外線強輻射的襲擊，相當於地面生物的保護層。科學家也知道，氟氯碳化物(CFCs)於平流層受紫外線照射分解出氯原子，會很強勢的和臭氧成連鎖反應，不斷催化臭氧反應成氧分子。由於國際社

會體認到氟氯碳化物(CFCs)對臭氧層的嚴重破壞性，以及臭氧層對地球生態環境的重要性，於是聯合國環境規劃署(UNEP)於 1987 年召集會員國簽訂限制氟氯碳化物(CFCs)生產的「蒙特婁議定書」(Montreal Protocol)，以保護臭氧層。後來再經幾次締約國會議，於 1992 年超過 100 個國家同意 1996 年前，全面禁用氟氯碳化物(CFCs)。

由於氟氯碳化物約有百年時間尺度的生命期，雖然氟氯碳化物停止生產，仍有大量的氟氯碳化物存在於大氣中，繼續影響著臭氧層，而且醫學證實過度曝曬紫外線，會導致皮膚癌、白內障、免疫系統減弱等疾病，所以引起各國對紫外變化的重視。於是世界衛生組織(WHO)、世界氣象組織(WMO)

及國際非離子輻射保護協會(ICNIRP)於1995年設計並公布紫外線指數(UVI)，以做為監測紫外線輻射強度的共同標準。紫外線指數(UVI)是根據國際照明委員會(CIE)發展的紫外線輻射，不同波長對皮膚曬傷引起紅斑的曬紅權重函數積分計算，其權重函數曲線公式如下：

$$E(\lambda)=1 \quad 250\text{nm} < \lambda < 328\text{nm}$$

$$E(\lambda)=10^{0.094}(298-\lambda) \quad 250\text{nm} < \lambda < 328\text{nm}$$

$$E(\lambda)=10^{0.015}(139-\lambda) \quad 328\text{nm} < \lambda < 400\text{nm}$$

$E(\lambda)$ 紫外線波長的輻射能量

$$\lambda \text{ 紫外線波長} \quad \text{nm}=10^{-9}\text{m}$$

由輻射儀器感應的紫外線輻射能量積分曬紅權重函數，再乘以40即為紫外線指數(UVI)。世界衛生組織(WHO)將UVI分為5級，分別為弱(Low, 0~2)、中(Moderate, 3~5)、強(High, 6~7)、極強(Very High, 8~10)及過量(Extreme, 11+)，並用5個顏色綠、黃、橘、紅、紫分別代表各個強度級別。一般紫外線指數達強級(UVI=6~7)於戶外活動時必須做防止曬傷的措施，如：儘量處於遮陰處，避免直接日曬，穿長袖高領衣服，戴寬邊帽、塗防曬乳液…等措施。

目前在美國觀測紫外線指數(UVI)最普遍的儀器是SOLAR LIGHT 501型紫外線輻射儀，因為此套輻射儀器有安裝簡單、容易操作、價格及維護相對便宜等優點，可以用簡單的程式，直接轉換紫外線輻射能量為紫外線指數。本局亦採用此型輻射儀器觀測各地的紫外線指數。自1998年起先在臺北、臺中、嘉義、高雄、臺東及花蓮等6站設紫外線指數觀測儀器，接著每年視預算編列情況，陸續在各氣象站增設紫外線指數觀測點，截至2009年12月共有19站作業中。

二、資料處理

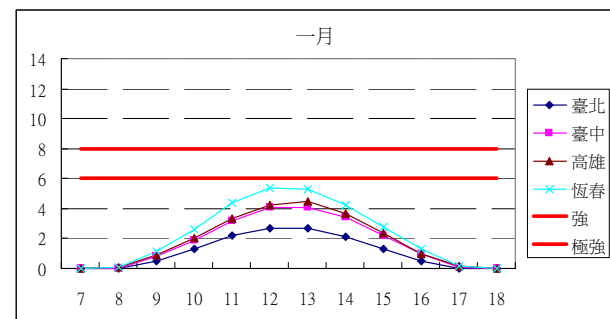
本報告之紫外線指數(UVI)每日、逐時資料，取自氣象局第二組第三科。自1998年開始有觀測資料的氣象站有臺北、臺中、嘉義、高雄、臺東及花蓮等6站，1999年增加新竹、日月潭、恆春、宜蘭及澎湖等5站，2000年再增加玉山及龍洞兩站，但龍洞觀測站於2009年初撤站，沒有繼續觀測。以後每年視

預算編列情況再陸續增加臺南、成功、金門、馬祖、基隆、蘭嶼及鞍部，目前有19站正常作業中。

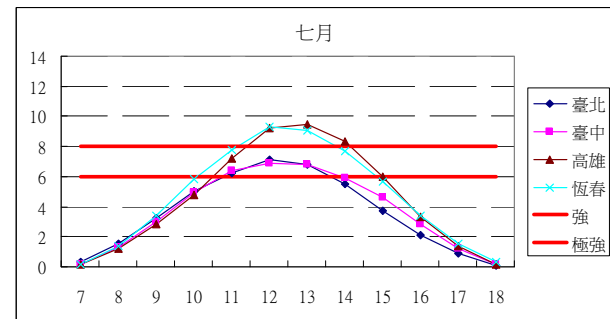
因為紫外線指數值的分布，隨地區、季節變化大，非屬常態分布，所以使用中數值討論平均狀態。本報告中數值、百分位值的計算，直接呼叫IMSL統計軟體的LETTR副程式。

三、結果與討論

紫外線是太陽光譜裏的一小部份，平流層臭氧會吸收絕大部分的紫外線，所以太陽光的強弱和臭氧層直接影響進入對流層紫外線的強弱。因觀測期間內太陽輻射強度可假設為不變，而臺灣上空之臭氧全量值，雖有季節波動，但幅度不大，且沒有顯著性趨勢，所以影響臺灣紫外線指數強弱的因素，主要為太陽照射角度、雲量和塵埃等。另外，太陽光到達地面後，地表的反射(雪、沙灘、海面)也會增強紫外線的強度。太陽照射角度又可分為每天日出日落的角度變化，每年春夏秋冬太陽直射緯度不同的變化；雲量的多寡和天氣變化有關；而塵埃和空氣污染有關。

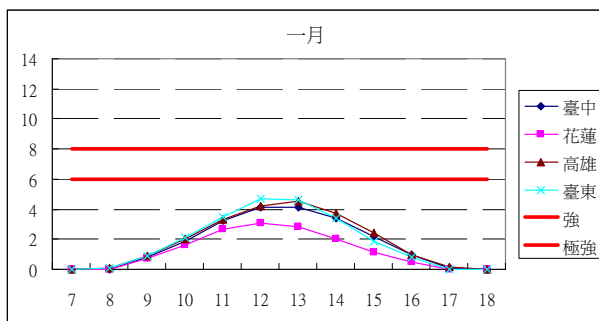


圖一、比較不同緯度，1月份逐時UVI中數圖

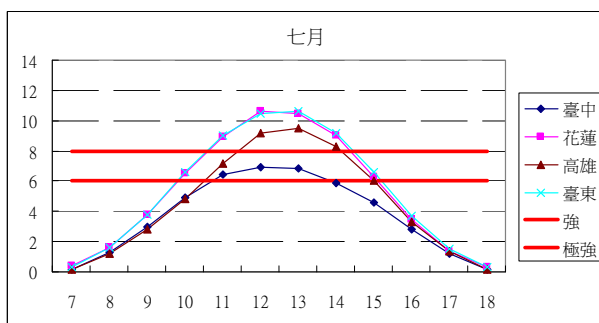


圖二、比較不同緯度，7月份逐時UVI中數圖

圖一取臺北、臺中、高雄、恆春等4個由北到南緯度不同的觀測站，1月份逐時UVI中數圖。共同特徵是8時以後，開始有UVI值，然後逐漸增強至中午12時、13時達最強，但仍都小於強級($UVI < 6$)，接著漸漸減弱至17時，太陽下山，UVI恢復零值。比較4站中午最強時的UVI中數值，從臺北、臺中、高雄、恆春依序增強，相當於1月UVI中數值由北至南逐漸增強，UVI隨緯度的減少而增大。圖二同圖一，但為7月份，UVI曲線有如圖一的放大圖，UVI中數值自7時開始大於零，一樣至中午達最強，此時臺北和臺中已達強級($UVI > 6$)，高雄、恆春達極強級($UVI > 8$)，中午過後，UVI隨時間減弱至太陽下山。圖二UVI中數值隨緯度的變化分成兩組，臺北、臺中幾乎重疊，而南部的高雄、恆春也幾乎重疊，南部的UVI中數值明顯比中北部強。圖三、圖四比較臺灣西部和東部緯度相差不大的觀測站，臺中、花蓮、高雄、臺東等4站的逐時UVI值。



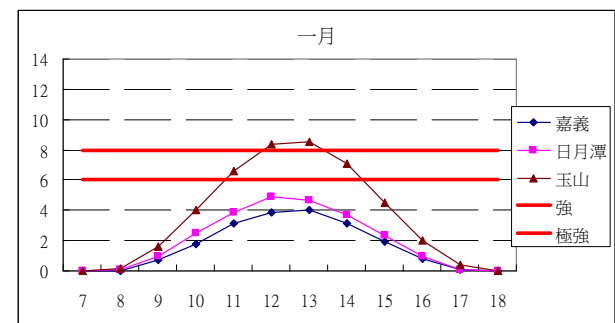
圖三、比較臺灣東西部，1月份逐時UVI中數圖



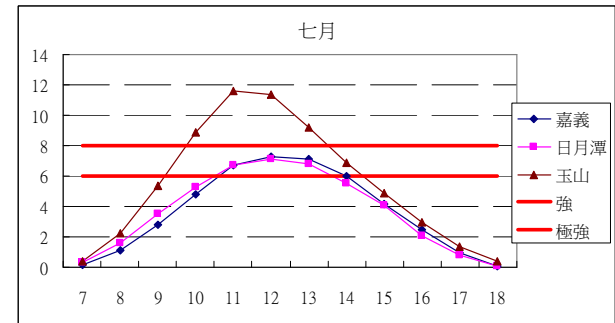
圖四、比較臺灣東西部，7月份逐時UVI中數圖

圖三顯示，1月份東部花蓮逐時UVI中數值明顯小於西部的臺中，但東部臺東的逐時UVI中數值卻略大於西部的高雄。花蓮UVI小，認為是由於1月份東北季風盛行，迎風面的花蓮容易雲量偏多所致。至

於西部高雄UVI中數值略小於東部臺東，可能是高雄工商業發展，都市化比臺東明顯，空氣中的塵埃較多，阻擋或散射了部分的紫外線，稍減弱了UVI值。圖四為7月份東西部逐時UVI中數值的比較，東部花蓮和臺東的UVI中數值幾乎重疊，而且高於西部臺中、高雄的UVI中數值。花蓮由1月最小UVI值，跳到7月和臺東一樣強度的高值，甚至比緯度較低的高雄UVI值強，很特別。花蓮、臺東UVI中數值自11時到14時達極強級($UVI > 8$)，所以夏季東部地區紫外線很強，持續時間長，做戶外活動，要特別注意防曬措施。



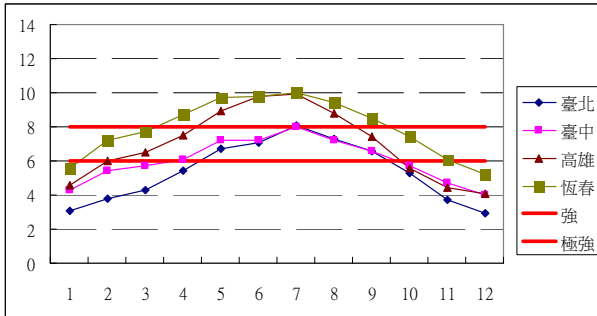
圖五、比較臺灣平地高山，1月份逐時UVI中數日變化圖



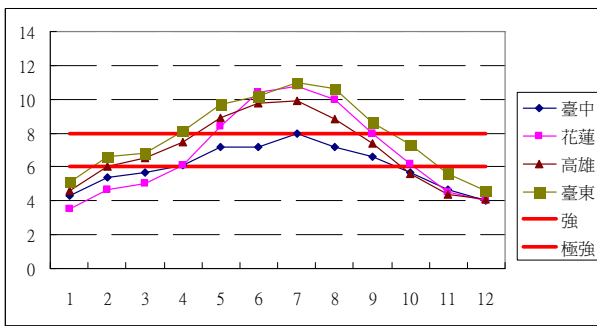
圖六、比較臺灣平地高山，7月份逐時UVI中數日變化圖

圖五、圖六則取臺灣緯度相差不大的平地高山觀測站嘉義(海拔27公尺)、日月潭(海拔1015公尺)、玉山(海拔3845公尺)做UVI中數值的比較。圖五顯示，1月份逐時UVI中數值以平地觀測站嘉義最弱、其次為日月潭，玉山最強。明顯依海拔高度增加而增強。又1月份幾乎所有觀測站之逐時UVI中數值都沒有達到強級($UVI > 6$)，惟有玉山站於11時就達強級，中午的12時、13時更達到極強級($UVI > 8$)的強度，14時再稍減弱為強級，顯示高海拔的玉山觀測站，其UVI值比平地強許多。圖六為7月份逐時UVI

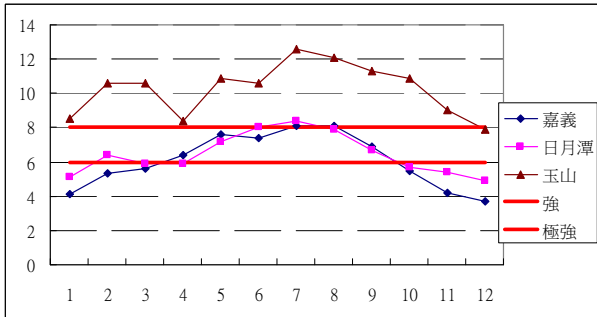
中數值也明顯顯示出玉山的UVI值比平地強許多，甚至於11時就達最強值，11時、12時UVI中數都已達最強的過量級($UVI > 11$)。倒是7月份日月潭逐時UVI中數和嘉義幾乎一樣，沒有突顯日月潭高山觀測站的特徵。



圖七、比較不同緯度，各月份UVI中數變化圖



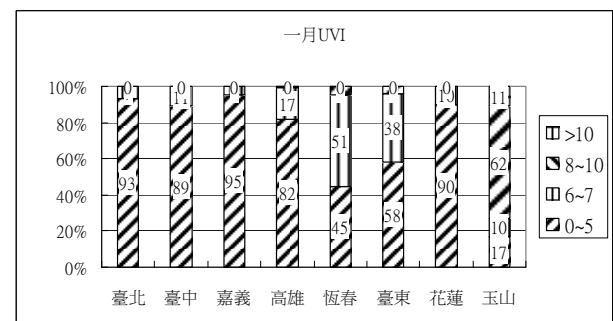
圖八、比較臺灣東西部，各月份UVI中數變化圖



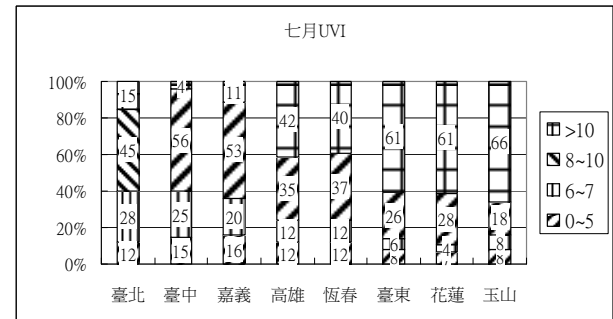
圖九、比較臺灣平地高山，各月份UVI中數變化圖

圖七至圖九是取每日最大UVI值(絕大部分是中午的UVI值)，整理為每個月份的中數值，仍依緯度、東西部及平地高山之特性，討論UVI各地隨季節變化的情形。圖七顯示，1月至5月UVI強度由北向南增強，6月、7月則分為兩組，臺北、臺中幾乎重疊在強級範圍，高雄、恆春則重疊在極強級範圍。臺北、臺中UVI中數相同延伸到9月，10月才稍微分開，11月、12月臺北和恆春恢復到最低和最高的強度。臺

中和高雄則糾纏在一起，不易分辨。圖八顯示，1月至3月UVI中數值強度由花蓮、臺中、高雄、臺東順序增強排列，花蓮從5月起增強幅度突然大增，至6月、7月、8月夏天季節強度幾乎和臺東一樣，形成東部夏季的UVI中數值明顯比西部地區強很多，進入10月後，花蓮的UVI中數值，又恢復和臺中、高雄差不多，但臺東還是維持相對較強UVI中數值。圖九顯示，1月至3月及11月、12月之UVI中數值依海拔高度增高而增強，4月至10月嘉義和日月潭UVI中數值互相糾結在一起，強度幾乎相同。玉山的UVI中數值明顯高於其他觀測站，而且除了12月外，其他月份都是在極強級以上，7月至9月更是大於11的過量級。



圖十、1月UVI各級強度百分比圖



圖十一、7月UVI各級強度百分比圖

圖十顯示環島7個觀測站和玉山站1月份UVI值，各分級強度的百分比。高雄以北的觀測站，中級強度以下占絕大部分，臺北、嘉義、花蓮占90%以上，臺中、高雄占80%以上。恆春中級以下強度迅速減少為45%，玉山更是只有17%而已。恆春1月份UVI達強級以上強度超過50%的機會，所以冬季1月份在恆春近中午的戶外活動，仍需有適當的防曬措施。玉山強級以上強度有83%，甚至過量級也有11%，顯示高海拔的玉山站1月份之UVI值還是相當強，所以

登玉山，防曬裝備是必要的，以免曬傷。圖十一顯示，7月份UVI中級以下頻率大幅減少，臺北、臺中、嘉義、高雄、恆春都降到20%以下，臺東、花蓮、玉山更是10%以下，每個地區都有出現過量級的機會，以玉山達66%最多。東部的花蓮、臺東也都有61%的機率，甚至高雄、恆春也有40%以上的機會，所以夏季臺灣各地中午的紫外線都很強，絕對要避免直接日曬。

紫外線指數(UVI)的趨勢分析，因為UVI的觀測資料最多只有12年，樣本數太少，迴歸直線斜率分析容易受到兩端點的影響，造成失真，所以採用Mann-Kendall趨勢檢定法，此法的觀念是計算時間序列，排序後面的數大於排序前面的數夠多，則正趨勢有意義；反之，太少，則負趨勢有意義。其公式如下：

時間序列 X_1, X_2, \dots, X_n n個樣本

$$T = r / (\sigma^2)^{1/2}$$

$$r = (4P / n(n-1)) - 1$$

$$\sigma^2 = 2(2n+5) / (9n(n-1))$$

P 代表 X_i, X_j 中當 $j > i$ 且 $X_j > X_i$ 個數

T 近似標準常態分布

則 $|T| > 1.645$ 通過10%有意義水平檢定

$|T| > 1.96$ 通過5%有意義水平檢定

T大於零是正趨勢，T小於零是負趨勢

取最早設立的6個觀測站，有12年資料，再增取兩個較特別的觀測站，最南端的恆春站(11年)和高海拔玉山站(10年)資料做趨勢檢定分析。又因為每年的UVI值以夏季(6月至8月)最強，所以取每年夏季每天最大UVI值，再計算中數值成時間序列，表一顯示，臺中、高雄、臺東之T值小於-1.96，表示這3站之UVI中數值，負趨勢通過5%有意義水平檢定；嘉義T值小於-1.645，但大於-1.96，通過負趨勢10%有意義水平檢定；臺北、恆春、花蓮和玉山無顯著趨勢。

表一、Mann-Kendall趨勢檢定數值

觀測站	T值	觀測站	T值
臺北	0.55	臺東	-2.33
臺中	-2.06	花蓮	-1.10
嘉義	-1.92	恆春	-0.14
高雄	-2.74	玉山	1.23

四、結論

分析臺灣地區之紫外線指數(UVI)強度變化，太陽照射角度是最主要的分量，不管由每日逐時UVI中數值(中午最強)及每年逐月UVI中數值(夏季最強)，皆顯示UVI中數值強度隨太陽照射角度的變化。

本文主要分析臺灣UVI，比較南北因緯度不同、東西部及平地高山的差異。結果顯示，1月份UVI從臺北至恆春，由北到南依序增強，即1月份UVI隨緯度的減少而增強，但7月份分為兩組，臺北、臺中幾乎相等，高雄、恆春幾乎相等，但仍顯示出較低緯度的南部UVI比中北部UVI強。

1月份東部花蓮UVI明顯比緯度相近的西部臺中弱，但東部的臺東卻比緯度相近的西部高雄UVI強，可能原因是花蓮冬季東北季風盛行，花蓮雲量容易偏多，而高雄都市化較臺東明顯，空氣污染的成份較多，阻擋或散射部份的紫外線所致。7月份東部花蓮UVI大幅增強為和臺東相同，超越臺中、高雄的UVI強度，是比較特別的現象。

1月份平地高山UVI值，依海拔高度(嘉義、日月潭、玉山)增加而增強明顯，尤其高海拔的玉山站UVI值非常突出的比其他站強很多。平地站1月份UVI中數值都在強級(UVI<6)以下，但玉山於中午達極強級(UVI>8)以上。7月份玉山UVI中數值更是超過過量級(UVI>11)，所以任何季節登玉山，防曬裝備是有必要的；7月嘉義和日月潭之UVI中數值很相近，顯示不出日月潭較低海拔的高山UVI特徵。

取6個有12年資料的觀測站(臺北、臺中、嘉義、高雄、臺東、花蓮)和最南端的恆春(11年)及高海拔的玉山站(10年)，用Mann-Kendall趨勢檢定法檢查UVI的趨勢，結果臺中、高雄、臺東3站負趨勢通過5%有意水平的檢定，嘉義負趨勢通過10%有意水平的檢定，臺北、恆春、花蓮及玉山無顯著趨勢。

參考文獻：

林清洲、張修武，1995：台灣地區紫外輻射之研究，行政院國家科學委員會，NSC84-2111-M-052-012

柳中明、劉銘龍、陳正平，1998：紫外線指數之監測、預估與教育宣導，行政院環境保護署，

EPA-87-FA04-0311

A Guide to the UV Index, EPA(United States Environmental Protection Agency)

INTERSUN, The global UV project, Aguide and compendium, Radiation and Environmental Health Unit, Protection of Human Environment, World Health Organization..

IMSL, FORTRAN subroutines for statistical analysis.